

# Theoretische Informatik 2

Johannes Köbler



Institut für Informatik  
Humboldt-Universität zu Berlin

WS 2009/10

# Das P-NP-Problem

- Wie wir gesehen haben, sind NTMs nicht mächtiger als DTMs, d.h. jede NTM kann von einer DTM simuliert werden.
- Die Frage, wieviel Zeit eine DTM zur Simulation einer NTM benötigt, ist eines der wichtigsten offenen Probleme der Informatik.
- Wegen  $\text{NTIME}(t) \subseteq \text{DSPACE}(t) \subseteq \text{NSPACE}(t) \subseteq \text{DTIME}(2^{O(t)})$  erhöht sich die Laufzeit im schlimmsten Fall exponentiell.
- Insbesondere die Klasse NP enthält viele für die Praxis überaus wichtige Probleme, für die kein Polynomialzeitalgorithmus bekannt ist.
- Da jedoch nur Probleme in P als effizient lösbar angesehen werden, hat das so genannte **P-NP-Problem**, also die Frage, ob alle NP-Probleme effizient lösbar sind, eine immense praktische Bedeutung.
- Wie bereits erwähnt, ist diese Frage für die Platzkomplexität bereits gelöst (Satz von Savitch, 1970).

# Die Polynomialzeitreduktion

## Definition

- Eine Sprache  $A \subseteq \Sigma^*$  ist auf  $B \subseteq \Gamma^*$  **in Polynomialzeit reduzierbar** ( $A \leq^P B$ ), falls eine Funktion  $f : \Sigma^* \rightarrow \Gamma^*$  in FP existiert mit

$$\forall x \in \Sigma^* : x \in A \Leftrightarrow f(x) \in B.$$

- Eine Sprache  $A$  heißt  **$\leq^P$ -hart** für eine Sprachklasse  $\mathcal{C}$  (kurz:  **$\mathcal{C}$ -hart** oder  **$\mathcal{C}$ -schwer**), falls gilt:

$$\forall L \in \mathcal{C} : L \leq^P A.$$

- Eine  $\mathcal{C}$ -harte Sprache  $A$ , die zu  $\mathcal{C}$  gehört, heißt  **$\mathcal{C}$ -vollständig**.
- **NPC** bezeichnet die Klasse aller NP-vollständigen Sprachen.

## Lemma

- Aus  $A \leq^P B$  folgt  $A \leq B$ .
- Die Reduktionsrelation  $\leq^P$  ist reflexiv und transitiv (s. Übungen).

# Die Polynomialzeitreduktion

## Satz

Die Klassen P und NP sind unter  $\leq^P$  abgeschlossen.

## Beweis

- Sei  $B \in P$  und gelte  $A \leq^P B$  mittels einer Funktion  $f \in FP$ .
- Seien  $M$  und  $T$  DTMs mit  $L(M) = B$  und  $T(x) = f(x)$ .
- Weiter seien  $p$  und  $q$  polynomielle Zeitschranken für  $M$  und  $T$ .
- Betrachte die DTM  $M'$ , die bei Eingabe  $x$  zuerst  $T$  simuliert, um  $f(x)$  zu berechnen, und danach  $M$  bei Eingabe  $f(x)$  simuliert.
- Dann gilt

$$x \in A \Leftrightarrow f(x) \in B \Leftrightarrow f(x) \in L(M) \Leftrightarrow x \in L(M').$$

- Also ist  $L(M') = A$  und wegen

$$\text{time}_{M'}(x) \leq \text{time}_T(x) + \text{time}_M(f(x)) \leq q(|x|) + p(q(|x|))$$

ist  $M'$  polynomiell zeitbeschränkt und somit  $A$  in P. □

# NP-Vollständigkeit

## Satz

- 1  $A \leq^P B$  und  $A$  ist NP-hart  $\Rightarrow B$  ist NP-hart.
- 2  $A \leq^P B$ ,  $A$  ist NP-hart und  $B \in \text{NP}$   $\Rightarrow B \in \text{NPC}$ .
- 3  $\text{NPC} \cap \text{P} \neq \emptyset \Rightarrow \text{P} = \text{NP}$ .

## Beweis

- 1 Da  $A$  NP-hart ist, ist jede NP-Sprache  $L$  auf  $A$  reduzierbar. Da zudem  $A \leq^P B$  gilt und  $\leq^P$  transitiv ist, folgt  $L \leq^P B$ .
- 2 Klar, da  $B$  mit (1) NP-hart und nach Voraussetzung in NP ist.
- 3 Sei  $B$  eine NP-vollständige Sprache in P. Dann ist jede NP-Sprache  $A$  auf  $B$  reduzierbar und da P unter  $\leq^P$  abgeschlossen ist, folgt  $A \in \text{P}$ .  $\square$

# NP-Vollständigkeit

## Satz

Folgende Sprache ist NP-vollständig:

$$L = \left\{ w\#x\#0^m \mid \begin{array}{l} w, x \in \{0, 1\}^* \text{ und } M_w \text{ ist eine NTM,} \\ \text{die } x \text{ in } \leq m \text{ Schritten akzeptiert} \end{array} \right\}$$

## Beweis

- Zunächst ist klar, dass  $L \in \text{NP}$  mittels folgender NTM  $M$  ist:  
 $M$  simuliert bei Eingabe  $w\#x\#0^m$  die NTM  $M_w$  bei Eingabe  $x$  für höchstens  $m$  Schritte. Falls  $M_w$  in dieser Zeit akzeptiert, akzeptiert  $M$  ebenfalls, andernfalls verwirft  $M$ .
- Sei nun  $A$  eine beliebige NP-Sprache. Dann ist  $A$  in Polynomialzeit auf eine Sprache  $B \subseteq \{0, 1\}^*$  in NP reduzierbar (siehe Übungen).
- Sei  $M_w$  eine durch ein Polynom  $p$  zeitbeschränkte NTM für  $B$ .
- Dann reduziert folgende FP-Funktion  $f$  die Sprache  $B$  auf  $L$ :

$$f : x \mapsto w\#x\#0^{p(|x|)}.$$



# Aussagenlogische Formeln

- Die Menge der **booleschen** (oder **aussagenlogischen**) **Formeln** über den Variablen  $x_1, \dots, x_n$ ,  $n \geq 0$ , ist induktiv wie folgt definiert:
  - Die Konstanten 0 und 1 sind boolesche Formeln.
  - Jede Variable  $x_i$  ist eine boolesche Formel.
  - Mit  $G$  und  $H$  sind auch die **Negation**  $\neg G$ , die **Konjunktion**  $(G \wedge H)$  und die **Disjunktion**  $(G \vee H)$  von  $G$  und  $H$  Formeln.
- Eine **Belegung** von  $x_1, \dots, x_n$  ist ein Wort  $a = a_1 \dots a_n \in \{0, 1\}^n$ .
- Der **Wert**  $F(a)$  von  $F$  unter  $a$  ist induktiv wie folgt definiert:

| $F$    | 0 | 1 | $x_i$ | $\neg G$   | $(G \wedge H)$ | $(G \vee H)$             |
|--------|---|---|-------|------------|----------------|--------------------------|
| $F(a)$ | 0 | 1 | $a_i$ | $1 - G(a)$ | $G(a)H(a)$     | $G(a) + H(a) - G(a)H(a)$ |

- Durch die Formel  $F$  wird also eine  **$n$ -stellige boolesche Funktion**  $F : \{0, 1\}^n \rightarrow \{0, 1\}$  definiert, die wir ebenfalls mit  $F$  bezeichnen.
- $F$  heißt **erfüllbar**, falls es eine Belegung  $a$  mit  $F(a) = 1$  gibt.

# Aussagenlogische Formeln

## Notation

Wir benutzen die **Implikation**  $G \rightarrow H$  als Abkürzung für die Formel  $\neg G \vee H$ .

## Beispiel (Erfüllbarkeitstest mittels Wahrheitstabelle)

Die Formel  $((\neg x_1 \vee \neg x_2) \rightarrow (x_2 \wedge x_3))$  ist erfüllbar:

| $a$ | $(\neg x_1 \vee \neg x_2)$ | $(x_2 \wedge x_3)$ | $((\neg x_1 \vee \neg x_2) \rightarrow (x_2 \wedge x_3))$ |
|-----|----------------------------|--------------------|---|
| 000 | 1                          | 0                  | 0   |
| 001 | 1                          | 0                  | 0   |
| 010 | 1                          | 0                  | 0   |
| 011 | 1                          | 1                  | 1   |
| 100 | 1                          | 0                  | 0   |
| 101 | 1                          | 0                  | 0   |
| 110 | 0                          | 0                  | 1   |
| 111 | 0                          | 1                  | 1   |

# Aussagenlogische Formeln

## Präzedenzregeln zur Klammerersparnis

- Der Junktor  $\wedge$  bindet stärker als der Junktor  $\vee$  und dieser wiederum stärker als der Junktor  $\rightarrow$ .
- Formeln der Form  $(x_1 \circ (x_2 \circ (x_3 \circ \dots \circ x_n) \dots))$ ,  $\circ \in \{\wedge, \vee, \rightarrow\}$  kürzen wir durch  $(x_1 \circ \dots \circ x_n)$  ab.

## Beispiel (Formel für die mehrstellige Entweder-Oder Funktion)

- Folgende Formel nimmt unter einer Belegung  $a = a_1 \cdots a_n$  genau dann den Wert 1 an, wenn  $\sum_{i=1}^n a_i = 1$  ist:

$$G(x_1, \dots, x_n) = (x_1 \vee \dots \vee x_n) \wedge \bigwedge_{1 \leq i < j \leq n} \neg(x_i \wedge x_j)$$

- D.h. es gilt genau dann  $G(a) = 1$ , wenn genau eine Variable  $x_i$  mit dem Wert  $a_i = 1$  belegt ist.
- Diese Formel wird im Beweis des nächsten Satzes benötigt. ◀

# Das aussagenlogische Erfüllbarkeitsproblem

Erfüllbarkeitsproblem für boolesche Formeln (*satisfiability*, SAT):

Gegeben: Eine boolesche Formel  $F$ .

Gefragt: Ist  $F$  erfüllbar?

Satz (Cook, Karp, Levin)

SAT ist NP-vollständig.

Lässt sich also ein effizienter Algorithmus für SAT finden, so kann daraus leicht ein effizienter Algorithmus für jedes NP-Problem abgeleitet werden.

Korollar

$\text{SAT} \in \text{P} \Leftrightarrow \text{P} = \text{NP}$ .

# SAT ist NP-vollständig

## Beweis von $\text{SAT} \in \text{NP}$

Es ist leicht zu sehen, dass  $\text{SAT} \in \text{NP}$  ist:

Eine NTM kann bei Eingabe einer booleschen Formel  $F$  zunächst eine Belegung  $a$  nichtdeterministisch raten und dann in Polynomialzeit testen, ob  $F(a) = 1$  ist (*guess and verify* Strategie). □

## Beweis von SAT ist NP-hart

- Sei  $L$  eine beliebige NP-Sprache und sei  $M = (Z, \Sigma, \Gamma, \delta, q_0)$  eine durch ein Polynom  $p$  zeitbeschränkte  $k$ -NTM mit  $L(M) = L$ .
- Da sich eine  $t(n)$ -zeitbeschränkte  $k$ -NTM in Zeit  $t^2(n)$  durch eine 1-NTM simulieren lässt, können wir  $k = 1$  annehmen.
- Unsere Aufgabe besteht nun darin, in Polynomialzeit zu einer gegebenen Eingabe  $w = w_1 \cdots w_n$  eine Formel  $F_w$  zu konstruieren, die genau dann erfüllbar ist, wenn  $w \in L$  ist.
- O.B.d.A. sei  $Z = \{q_0, \dots, q_m\}$ ,  $E = \{q_m\}$  und  $\Gamma = \{a_1, \dots, a_l\}$ .
- Zudem sei  $\delta(q_m, a) := \{(q_m, a, N)\}$  für alle  $a \in \Gamma$ .

# Beweis von SAT ist NP-hart

## Idee:

Konstruiere  $F_w$  so, dass  $F_w$  unter einer Belegung  $a$  genau dann wahr wird, wenn  $a$  eine akzeptierende Rechnung von  $M(w)$  beschreibt.

- Wir bilden  $F_w$  über den Variablen

$$x_{t,q}, \quad \text{für } 0 \leq t \leq p(n), q \in Z,$$

$$y_{t,i}, \quad \text{für } 0 \leq t \leq p(n), -p(n) \leq i \leq p(n),$$

$$z_{t,i,a}, \quad \text{für } 0 \leq t \leq p(n), -p(n) \leq i \leq p(n), a \in \Gamma.$$

- Diese Variablen stehen für folgende Aussagen:

$x_{t,q}$ : zum Zeitpunkt  $t$  befindet sich  $M$  im Zustand  $q$ ,

$y_{t,i}$ : zur Zeit  $t$  besucht  $M$  das Feld mit der Nummer  $i$ ,

$z_{t,i,a}$ : zur Zeit  $t$  steht das Zeichen  $a$  auf dem  $i$ -ten Feld.

- Konkret sei  $F_w = R \wedge S_w \wedge \dot{U}_1 \wedge \dot{U}_2 \wedge E$ .

## Beweis von SAT ist NP-hart

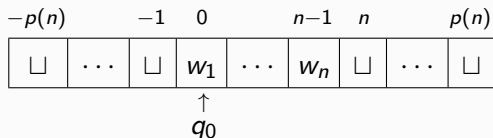
- Konkret sei  $F_w = R \wedge S_w \wedge \ddot{U}_1 \wedge \ddot{U}_2 \wedge E$ .
- Dabei stellt die Formel  $R = \bigwedge_{t=0}^{p(n)} R_t$  (Randbedingungen) sicher, dass wir jeder erfüllenden Belegung eindeutig eine Folge von Konfigurationen  $K_0, \dots, K_{p(n)}$  zuordnen können:

$$R_t = G(x_{t,q_0}, \dots, x_{t,q_m}) \wedge G(y_{t,-p(n)}, \dots, y_{t,p(n)}) \\ \wedge \bigwedge_{i=-p(n)}^{p(n)} G(z_{t,i,a_1}, \dots, z_{t,i,a_l}).$$

- Die Teilformel  $R_t$  sorgt also dafür, dass zum Zeitpunkt  $t$ 
  - genau ein Zustand  $q \in \{q_0, \dots, q_m\}$  eingenommen wird,
  - genau ein Bandfeld  $i \in \{-p(n), \dots, p(n)\}$  besucht wird und
  - auf jedem Feld  $i$  genau ein Zeichen  $a \in \Gamma$  steht.

## Beweis von SAT ist NP-hart

- Die Formel  $S_w$  (wie Startbedingung) stellt sicher, dass zum Zeitpunkt 0 tatsächlich die Startkonfiguration vorliegt:



$$S_w = x_{0,q_0} \wedge y_{0,0} \wedge \bigwedge_{i=-p(n)}^{-1} z_{0,i,\sqcup} \wedge \bigwedge_{i=0}^{n-1} z_{0,i,w_{i+1}} \wedge \bigwedge_{i=n}^{p(n)} z_{0,i,\sqcup}$$

- Die Formel  $\ddot{U}_1$  sorgt dafür, dass der Inhalt von nicht besuchten Feldern beim Übergang von  $K_t$  zu  $K_{t+1}$  unverändert bleibt:

$$\ddot{U}_1 = \bigwedge_{t=0}^{p(n)-1} \bigwedge_{i=-p(n)}^{p(n)} \bigwedge_{a \in \Gamma} (\neg y_{t,i} \wedge z_{t,i,a} \rightarrow z_{t+1,i,a})$$

## Beweis von SAT ist NP-hart

- $\ddot{U}_2$  achtet darauf, dass sich bei jedem Übergang der Zustand, die Kopfposition und das gerade gelesene Zeichen gemäß einer Anweisung in  $\delta$  verändern:

$$\ddot{U}_2 = \bigwedge_{t=0}^{p(n)-1} \bigwedge_{i=-p(n)}^{p(n)} \bigwedge_{a \in \Gamma} \bigwedge_{p \in Z} (x_{t,p} \wedge y_{t,i} \wedge z_{t,i,a} \rightarrow$$

$$\bigvee_{(q,b,D) \in \delta(p,a)} x_{t+1,q} \wedge y_{t+1,i+D} \wedge z_{t+1,i,b}),$$

wobei

$$i + D = \begin{cases} i - 1, & D = L \\ i, & D = N \\ i + 1, & D = R \end{cases}$$

- Schließlich überprüft  $E$ , ob  $M$  zur Zeit  $p(n)$  den Endzustand  $q_m$  erreicht hat:

$$E = x_{p(n),q_m}$$

## Beweis von SAT ist NP-hart

- Da der Aufbau der Formel  $f(w) = F_w$  einem einfachen Bildungsgesetz folgt und ihre Länge polynomiell in  $n$  ist, folgt  $f \in \text{FP}$ .
- Es ist klar, dass  $F_w$  im Fall  $w \in L(M)$  erfüllbar ist, indem wir die Variablen von  $F_w$  gemäß einer akz. Rechnung von  $M(w)$  belegen.
- Umgekehrt führt eine Belegung  $a$  mit  $F_w(a) = 1$  wegen  $R(a) = 1$  eindeutig auf eine Konfigurationenfolge  $K_0, \dots, K_{p(n)}$ , so dass gilt:
  - $K_0$  ist Startkonfiguration von  $M(w)$  (wegen  $S_w(a) = 1$ ),
  - $K_i \vdash K_{i+1}$  für  $i = 0, \dots, p(n) - 1$  (wegen  $\ddot{U}_1(a) = \ddot{U}_2(a) = 1$ ),
  - $M$  nimmt spätestens bei Erreichen der Konfiguration  $K_{p(n)}$  den Endzustand  $q_m$  an (wegen  $E(a) = 1$ ).
- Also gilt für alle  $w \in \Sigma^*$  die Äquivalenz

$$w \in L(M) \Leftrightarrow F_w \in \text{SAT},$$

d.h. die FP-Funktion  $f : w \mapsto F_w$  reduziert  $L(M)$  auf SAT. □

# Boolesche Schaltkreise

Als nächstes betrachten wir das Erfüllbarkeitsproblem für boolesche Schaltkreise.

## Definition

- Ein **boolescher Schaltkreis** über den Variablen  $x_1, \dots, x_n$  ist eine Folge  $s = (g_1, \dots, g_m)$  von **Gattern**

$$g_l \in \{0, 1, x_1, \dots, x_n, (\neg, j), (\wedge, j, k), (\vee, j, k)\} \text{ mit } 1 \leq j, k < l.$$

- Die am Gatter  $g_l$  berechnete  $n$ -stellige boolesche Funktion ist induktiv wie folgt definiert:

---

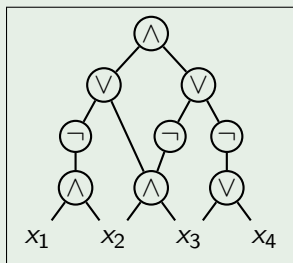
|          |  |   |   |       |              |                  |                                  |
|----------|--|---|---|-------|--------------|------------------|----------------------------------|
| $g_l$    |  | 0 | 1 | $x_i$ | $(\neg, j)$  | $(\wedge, j, k)$ | $(\vee, j, k)$                   |
| $g_l(a)$ |  | 0 | 1 | $a_i$ | $1 - g_j(a)$ | $g_j(a)g_k(a)$   | $g_j(a) + g_k(a) - g_j(a)g_k(a)$ |

---

- $s$  berechnet die boolesche Funktion  $s(a) = g_m(a)$ .
- $s$  heißt **erfüllbar**, wenn eine Eingabe  $a \in \{0, 1\}^n$  mit  $s(a) = 1$  ex.

# Boolesche Schaltkreise

## Beispiel



Graphische Darstellung

des Schaltkreises  $c =$

$(x_1, x_2, x_3, x_4, (\wedge, 1, 2),$   
 $(\wedge, 2, 3), (\vee, 3, 4), (\neg, 5),$   
 $(\neg, 6), (\neg, 7), (\vee, 6, 8),$   
 $(\vee, 9, 10), (\wedge, 11, 12)).$

## Bemerkung

- Die Anzahl der Eingänge eines Gatters  $g$  wird als **Fanin** von  $g$  bezeichnet,
- die Anzahl der Ausgänge von  $g$  (also die Anzahl der Gatter, die  $g$  als Eingabe benutzen) als **Fanout**.
- Boolesche Formeln entsprechen also den booleschen Schaltkreisen mit (maximalem) Fanout 1 und umgekehrt.
- Eine boolesche Formel  $F$  kann somit leicht in einen äquivalenten Schaltkreis  $s$  mit  $s(a) = F(a)$  für alle Belegungen  $a$  transformiert werden.

# Das Erfüllbarkeitsproblem für boolesche Schaltkreise

Erfüllbarkeitsproblem für boolesche Schaltkreise (CIRSAT):

Gegeben: Ein boolescher Schaltkreis  $s$ .

Gefragt: Ist  $s$  erfüllbar?

## Satz

CIRSAT ist NP-vollständig.

## Beweis

Klar, da  $SAT \leq^P CIRSAT$  und  $CIRSAT \in NP$  gilt. □

## Bemerkung

- Da  $SAT$  NP-vollständig ist, ist  $CIRSAT$  auf  $SAT$  reduzierbar.
- Dies bedeutet jedoch nicht, dass sich jeder Schaltkreis in Polynomialzeit in eine logisch äquivalente Formel überführen lässt, sondern nur in eine erfüllbarkeitsäquivalente Formel.
- $CIRSAT$  ist sogar auf eine spezielle  $SAT$ -Variante reduzierbar.

# Formeln in konjunktiver Normalform (KNF)

## Definition

- Ein **Literal** ist eine Variable  $x_i$  oder eine negierte Variable  $\neg x_i$ , die wir auch kurz mit  $\bar{x}_i$  bezeichnen.
- Eine **Klausel** ist eine Disjunktion  $C = \bigvee_{j=1}^k l_j$  von Literalen.
- Eine boolesche Formel  $F$  ist in **konjunktiver Normalform** (kurz **KNF**), falls  $F$  eine Konjunktion von Klauseln  $C_1, \dots, C_m$  ist,

$$F = \bigwedge_{j=1}^m C_j.$$

- Enthält jede Klausel höchstens  $k$  Literale, so heißt  $F$  in  **$k$ -KNF**.

## Notation

Klauseln werden oft als Menge  $C = \{l_1, \dots, l_k\}$  ihrer Literale und KNF-Formeln als Menge  $F = \{C_1, \dots, C_m\}$  ihrer Klauseln dargestellt.

# Erfüllbarkeitsprobleme für Formeln in KNF

## Erfüllbarkeitsproblem für $k$ -KNF Formeln ( $k$ -SAT):

Gegeben: Eine boolesche Formel  $F$  in  $k$ -KNF.

Gefragt: Ist  $F$  erfüllbar?

## Not-All-Equal-SAT ( $\text{NAESAT}$ ):

Gegeben: Eine Formel  $F$  in 3-KNF.

Gefragt: Hat  $F$  eine (erfüllende) Belegung, unter der in keiner Klausel alle Literale denselben Wahrheitswert haben?

## Beispiel

- Die 3-KNF Formel  $F = (x_1 \vee \bar{x}_2) \wedge (\bar{x}_1 \vee x_3) \wedge (x_2 \vee \bar{x}_3 \vee x_4)$  ist alternativ durch folgende Klauselmengemenge darstellbar:

$$F = \{\{x_1, \bar{x}_2\}, \{\bar{x}_1, x_3\}, \{x_2, \bar{x}_3, x_4\}\}$$

- Offenbar ist  $F(1111) = 1$ , d.h.  $F \in 3\text{-SAT}$ . Zudem gilt  $F \in \text{NAESAT}$ .

# Komplexität von Erfüllbarkeitsproblemen

## Satz

- 1-SAT und 2-SAT sind in P entscheidbar (siehe Übungen).
- 3-SAT und NAESAT sind NP-vollständig.

## 3-SAT ist NP-vollständig

### Reduktion von CIRSAT auf 3-SAT

- Wir transformieren einen Schaltkreis  $s = (g_1, \dots, g_m)$  mit  $n$  Eingängen in eine 3-KNF Formel  $F_s$  über den Variablen  $x_1, \dots, x_n, y_1, \dots, y_m$ , die die Klausel  $\{y_m\}$  und für jedes Gatter  $g_i$  die folgenden Klauseln enthält:

| Gatter $g_i$     | zugeh. Klauseln in $F_s$  | Semantik                             |
|------------------|---|--------------------------------------|
| 0                | $\{\bar{y}_i\}$   | $y_i = 0$                            |
| 1                | $\{y_i\}$   | $y_i = 1$                            |
| $x_j$            | $\{\bar{y}_i, x_j\}, \{\bar{x}_j, y_i\}$                                | $y_i \leftrightarrow x_j$            |
| $(\neg, j)$      | $\{\bar{y}_i, \bar{y}_j\}, \{y_j, y_i\}$                                | $y_i \leftrightarrow \bar{y}_j$      |
| $(\wedge, j, k)$ | $\{\bar{y}_i, y_j\}, \{\bar{y}_i, y_k\}, \{\bar{y}_j, \bar{y}_k, y_i\}$ | $y_i \leftrightarrow y_j \wedge y_k$ |
| $(\vee, j, k)$   | $\{\bar{y}_j, y_i\}, \{\bar{y}_k, y_i\}, \{\bar{y}_i, y_j, y_k\}$       | $y_i \leftrightarrow y_j \vee y_k$   |

## 3-SAT ist NP-vollständig

### Reduktion von CIRSAT auf 3-SAT

- Nun ist leicht zu sehen, dass für alle  $a \in \{0, 1\}^n$  folgende Äquivalenz gilt:

$$s(a) = 1 \Leftrightarrow \exists b \in \{0, 1\}^m : F_s(ab) = 1.$$

- Ist nämlich  $a \in \{0, 1\}^n$  eine Eingabe mit  $s(a) = 1$ . Dann erhalten wir mit

$$b_i = g_i(a) \text{ für } i = 1, \dots, m$$

eine erfüllende Belegung  $ab_1 \cdots b_m$  für  $F_s$ .

- Ist umgekehrt  $ab_1 \cdots b_m$  eine erfüllende Belegung für  $F_s$ , so muss
  - $b_m = 1$  sein, da  $\{y_m\}$  eine Klausel in  $F_s$  ist, und
  - durch Induktion über  $i = 1, \dots, m$  folgt

$$g_i(a) = b_i,$$

d.h. insbesondere folgt  $s(a) = g_m(a) = b_m = 1$ .

## 3-SAT ist NP-vollständig

### Reduktion von CIRSAT auf 3-SAT

- Nun ist leicht zu sehen, dass für alle  $a \in \{0, 1\}^n$  folgende Äquivalenz gilt:

$$s(a) = 1 \Leftrightarrow \exists b \in \{0, 1\}^m : F_s(ab) = 1.$$

- Dies bedeutet, dass der Schaltkreis  $s$  und die 3-KNF-Formel  $F_s$  erfüllbarkeitsäquivalent sind, d.h.

$$s \in \text{CIRSAT} \Leftrightarrow F_s \in \text{3-SAT}.$$

- Zudem ist leicht zu sehen, dass die Reduktionsfunktion  $s \mapsto F_s$  in FP berechenbar ist, womit  $\text{CIRSAT} \leq^p \text{3-SAT}$  folgt. □

# Eine Variante von 3-SAT

## Not-All-Equal-SAT ( $\text{NAESAT}$ ):

Gegeben: Eine Formel  $F$  in 3-KNF.

Gefragt: Hat  $F$  eine (erfüllende) Belegung, unter der in keiner Klausel alle Literale denselben Wahrheitswert haben?

## Satz

$\text{NAESAT}$  ist NP-vollständig.

## Beweis

- $\text{NAESAT} \in \text{NP}$  ist klar.
- Wir reduzieren  $\text{CIRSAT}$  auf  $\text{NAESAT}$ , indem wir die Reduktion von  $\text{CIRSAT}$  auf 3-SAT geeignet anpassen.

# NAESAT ist NP-vollständig

## Reduktion von CIRSAT auf NAESAT

- Wir reduzieren CIRSAT auf NAESAT, indem wir die Reduktion von CIRSAT auf 3-SAT geeignet anpassen:

| Gatter $g_i$     | zugeh. Klauseln in $F'_S$   | Semantik                             |
|------------------|---|--------------------------------------|
| 0                | $\{\bar{y}_i, z\}$  | $y_i = 0$                            |
| 1                | $\{y_i, z\}$  | $y_i = 1$                            |
| $x_j$            | $\{\bar{y}_i, x_j, z\}, \{\bar{x}_j, y_i, z\}$                                | $y_i \leftrightarrow x_j$            |
| $(\neg, j)$      | $\{\bar{y}_i, \bar{y}_j, z\}, \{y_j, y_i, z\}$                                | $y_i \leftrightarrow \bar{y}_j$      |
| $(\wedge, j, k)$ | $\{\bar{y}_i, y_j, z\}, \{\bar{y}_i, y_k, z\}, \{\bar{y}_j, \bar{y}_k, y_i\}$ | $y_i \leftrightarrow y_j \wedge y_k$ |
| $(\vee, j, k)$   | $\{\bar{y}_j, y_i, z\}, \{\bar{y}_k, y_i, z\}, \{\bar{y}_i, y_j, y_k\}$       | $y_i \leftrightarrow y_j \vee y_k$   |

- Es ist leicht zu sehen, dass die Dreierklauseln unter jeder erfüllenden Belegung von  $F_S$  bereits beide Wahrheitswerte annehmen.
- Zu den übrigen Klauseln können wir eine neue Variable  $z$  hinzufügen.

# NAESAT ist NP-vollständig

## Reduktion von CIRSAT auf NAESAT

- Sei  $F'_s(x_1, \dots, x_n, y_1, \dots, y_m, z)$  die 3-KNF Formel, die die Klausel  $\{y_m, z\}$  und für jedes Gatter  $g_i$  die folgenden Klauseln enthält:

| Gatter $g_i$     | zugeh. Klauseln $F'_s$  |
|------------------|---|
| 0                | $\{\bar{y}_i, z\}$  |
| 1                | $\{y_i, z\}$  |
| $x_j$            | $\{\bar{y}_i, x_j, z\}, \{\bar{x}_j, y_i, z\}$                                |
| $(\neg, j)$      | $\{\bar{y}_i, \bar{y}_j, z\}, \{y_j, y_i, z\}$                                |
| $(\wedge, j, k)$ | $\{\bar{y}_i, y_j, z\}, \{\bar{y}_i, y_k, z\}, \{\bar{y}_j, \bar{y}_k, y_i\}$ |
| $(\vee, j, k)$   | $\{\bar{y}_j, y_i, z\}, \{\bar{y}_k, y_i, z\}, \{\bar{y}_i, y_j, y_k\}$       |

- $F'_s$  entsteht also aus  $F_s$ , indem wir zu jeder Klausel mit  $\leq 2$  Literalen die neue Variable  $z$  hinzufügen.

# NAESAT ist NP-vollständig

## Reduktion von CIRSAT auf NAESAT

- Da die Funktion  $f : s \mapsto F'_s$  offenbar in FP berechenbar ist, bleibt nur noch die Korrektheit von  $f$  zu zeigen:

$$s \in \text{CIRSAT} \Leftrightarrow F'_s \in \text{NAESAT}.$$

- Ist  $s \in \text{CIRSAT}$ , so existiert eine Belegung  $ab$  mit  $F_s(ab) = 1$ .
- Folglich enthalten unter dieser Belegung alle Klauseln von  $F_s$  (und damit auch alle Klauseln von  $F'_s$ ) ein wahres Literal.
- Tatsächlich wird unter  $ab$  in jeder Dreierklausel von  $F_s$  (und damit in jeder Klausel von  $F'_s$ , die nicht  $z$  enthält) auch ein Literal falsch, da  $ab$  neben jeder Dreierklausel der Form
  - $\{\bar{y}_i, y_j, y_k\}$  die Klauseln  $\{\bar{y}_j, y_i\}$  und  $\{\bar{y}_k, y_i\}$  und neben
  - $\{y_i, \bar{y}_j, \bar{y}_k\}$  die Klauseln  $\{y_j, \bar{y}_i\}$  und  $\{y_k, \bar{y}_j\}$  erfüllt.
- Setzen wir also  $z = 0$ , so wird in jeder Klausel von  $F'_s$  mindestens ein Literal wahr und mindestens ein Literal falsch.

# NAESAT ist NP-vollständig

## Reduktion von CIRSAT auf NAESAT

- die umgekehrte Implikation sei nun  $F'_s \in \text{NAESAT}$  angenommen.
- Dann existiert eine Belegung  $abc \in \{0, 1\}^{n+m+1}$  für

$$F'_s(x_1, \dots, x_n, y_1, \dots, y_m, z),$$

unter der in jeder Klausel ein wahres und ein falsches Literal vorkommen.

- Da dies auch unter der komplementären Belegung  $\overline{abc}$  der Fall ist, können wir  $c = 0$  annehmen.
- Dann erfüllt aber die Belegung  $ab$  die Formel  $F_s$ .
- Also ist  $s(a) = 1$  und damit  $s \in \text{CIRSAT}$ .



# SAT als Optimierungsproblem

- Ist eine KNF-Formel  $F$  nicht erfüllbar, so kann es nützlich sein, herauszufinden, wieviele Klauseln in  $F$  maximal erfüllbar sind.
- Die Schwierigkeit dieses Optimierungsproblems lässt sich durch folgendes Entscheidungsproblem charakterisieren.

## MAX- $k$ -SAT:

**Gegeben:** Eine Formel  $F$  in  $k$ -KNF und eine Zahl  $l$ .

**Gefragt:** Existiert eine Belegung  $a$ , die mindestens  $l$  Klauseln in  $F$  erfüllt?

Hierbei können Klauseln in  $F$  auch mehrfach vorkommen.

## Satz

- 1 MAX-1-SAT  $\in$  P.
- 2 MAX-2-SAT  $\in$  NPC.

# SAT als Optimierungsproblem

## Reduktion von 3-SAT auf MAX-2-SAT

- Für eine Dreierklausel  $C = \{l_1, l_2, l_3\}$ , in der die Variable  $v$  nicht vorkommt, sei  $G(l_1, l_2, l_3, v)$  die 2-KNF Formel, die aus folgenden 10 Klauseln besteht:

$$\{l_1\}, \{l_2\}, \{l_3\}, \{v\}, \{\bar{l}_1, \bar{l}_2\}, \{\bar{l}_2, \bar{l}_3\}, \{\bar{l}_1, \bar{l}_3\}, \{l_1, \bar{v}\}, \{l_2, \bar{v}\}, \{l_3, \bar{v}\}$$

- Die folgenden 3 Eigenschaften von  $G$  sind leicht zu verifizieren:
  - Keine Belegung von  $G$  erfüllt mehr als 7 Klauseln von  $G$ .
  - Jede Belegung  $a$  von  $C$  mit  $C(a) = 1$  ist zu einer Belegung  $a'$  von  $G$  erweiterbar, die 7 Klauseln von  $G$  erfüllt.
  - Keine Belegung  $a$  von  $C$  mit  $C(a) = 0$  ist zu einer Belegung  $a'$  von  $G$  erweiterbar, die 7 Klauseln von  $G$  erfüllt.
- Sei  $F$  eine 3-KNF-Formel über  $x_1, \dots, x_n$  mit  $m$  Klauseln.
- Wir nehmen an, dass  $C_j = \{l_{j1}, l_{j2}, l_{j3}\}$ ,  $j = 1, \dots, k$ , die Dreier- und  $C_{k+1}, \dots, C_m$  die Einer- und Zweierklauseln von  $F$  sind.

# SAT als Optimierungsproblem

## Reduktion von 3-SAT auf MAX-2-SAT

- Wir nehmen an, dass  $C_j = \{l_{j1}, l_{j2}, l_{j3}\}$ ,  $j = 1, \dots, k$ , die Dreier- und  $C_{k+1}, \dots, C_m$  die Einer- und Zweierklauseln von  $F$  sind.
- Betrachte die 2-KNF Formel  $F'$  mit  $10k + (m - k)$  Klauseln ist, die wie folgt aus  $F$  entsteht:
  - Ersetze jede Dreierklausel  $C_j = \{l_{j1}, l_{j2}, l_{j3}\}$  in  $F$  durch die 10 Klauseln der 2-KNF-Formel  $G_j = G(l_{j1}, l_{j2}, l_{j3}, v_j)$ .
- Dann gilt
$$F \in 3\text{-SAT} \Leftrightarrow (F', m + 6k) \in \text{MAX-2-SAT}.$$
- Die Vorwärtsrichtung ergibt sich unmittelbar aus der Tatsache, dass jede erfüllende Belegung  $a$  für  $F$  zu einer Belegung  $a'$  für  $F'$  erweiterbar ist, die  $7k + m - k = m + 6k$  Klauseln von  $F'$  erfüllt.

# SAT als Optimierungsproblem

## Reduktion von 3-SAT auf MAX-2-SAT

- Dann gilt

$$F \in 3\text{-SAT} \Leftrightarrow (F', m + 6k) \in \text{MAX-2-SAT}.$$

- Die Vorwärtsrichtung ergibt sich unmittelbar aus der Tatsache, dass jede erfüllende Belegung  $a$  für  $F$  zu einer Belegung  $a'$  für  $F'$  erweiterbar ist, die  $7k + m - k = m + 6k$  Klauseln von  $F'$  erfüllt.
- Für die Rückwärtsrichtung sei  $a$  eine Belegung, die mindestens  $m + 6k$  Klauseln von  $F'$  erfüllt.
- Da in jeder 10er-Gruppe  $G_j$ ,  $j = 1, \dots, k$ , maximal 7 Klauseln erfüllbar sind, muss  $a$  in jeder 10er-Gruppe genau 7 Klauseln und zudem alle Klauseln  $C_j$  für  $j = k + 1, \dots, m$  erfüllen.
- Dies ist aber nur möglich, wenn  $a$  alle Klauseln  $C_j$  von  $F$  erfüllt.
- Zudem ist leicht zu sehen, dass  $g : F \mapsto (F', m + 6k)$  in FP berechenbar ist, woraus  $3\text{-SAT} \leq^P \text{MAX-2-SAT}$  folgt.



## Das Wortproblem für NFAs

- Als nächstes zeigen wir, dass das Wortproblem für NFAs effizient entscheidbar ist.
- Dagegen wird sich das Äquivalenzproblem für NFAs als schwer lösbar (genauer: co-NP-hart) herausstellen.

### Satz

Das Wortproblem für NFAs,

$$\text{WP}_{\text{NFA}} = \{N\#x \mid N \text{ ist ein NFA und } x \in L(N)\},$$

ist in P entscheidbar.

### P-Algorithmus für $\text{WP}_{\text{NFA}}$

- 1 **Input:** Ein NFA  $N = (Z, \Sigma, \delta, Q_0, E)$  und ein Wort  $x = x_1 \dots x_n$
- 2  $Q := Q_0$
- 3 **for**  $i := 1$  **to**  $n$  **do**
- 4  $Q := \bigcup_{q \in Q} \delta(q, x_i)$
- 5 **if**  $Q \cap E \neq \emptyset$  **then accept else reject**

# Das Wortproblem für NFAs ist in P entscheidbar

## Satz

Das Wortproblem für NFAs,

$$WP_{\text{NFA}} = \{N \# x \mid N \text{ ist ein NFA und } x \in L(N)\},$$

ist in P entscheidbar.

## P-Algorithmus für $WP_{\text{NFA}}$

```
1 Input: Ein NFA  $N = (Z, \Sigma, \delta, Q_0, E)$  und ein Wort  $x = x_1 \dots x_n$ 
2    $Q := Q_0$ 
3   for  $i := 1$  to  $n$  do
4      $Q := \bigcup_{q \in Q} \delta(q, x_i)$ 
5   if  $Q \cap E \neq \emptyset$  then accept else reject
```

Es ist klar, dass dieser Algorithmus korrekt arbeitet und auch in eine polynomiell zeitbeschränkte DTM für die Sprache  $WP_{\text{NFA}}$  transformiert werden kann.

# Das Leerheitsproblem und das Schnittproblem für NFAs

Ganz ähnlich folgt auch, dass das Leerheits- und das Schnittproblem für NFAs in Polynomialzeit lösbar sind (siehe Übungen).

## Korollar

Das Leerheitsproblem für NFAs,

$$LP_{\text{NFA}} = \{N \mid N \text{ ist ein NFA und } L(N) = \emptyset\}$$

und das Schnittproblem für NFAs,

$$SP_{\text{NFA}} = \{N_1 \# N_2 \mid N_1 \text{ und } N_2 \text{ sind NFAs mit } L(N_1) \cap L(N_2) \neq \emptyset\}$$

sind in P lösbar.

# Entscheidungsprobleme für reguläre Ausdrücke

## Korollar

Das Wort-, das Leerheits- und das Schnittproblem für reguläre Ausdrücke sind in  $P$  entscheidbar.

## Beweis

- Ein regulärer Ausdruck  $\alpha$  lässt sich in Polynomialzeit in einen äquivalenten NFA  $N_\alpha$  transformieren (siehe Übungen).
- Daher gilt  $WP_{RA} \leq^P WP_{NFA}$  mittels  $f : (\alpha \# x) \mapsto (N_\alpha \# x)$ .
- Da nach vorigem Satz  $WP_{NFA} \in P$  ist, und da  $P$  unter  $\leq^P$  abgeschlossen ist, folgt  $WP_{RA} \in P$ .
- Ähnlich zeigt man  $LP_{RA} \leq^P LP_{NFA}$  und  $SP_{RA} \leq^P SP_{NFA}$ , was die Zugehörigkeit von  $LP_{RA}$  und  $SP_{RA}$  zu  $P$  impliziert. □

Dagegen sind das Äquivalenz- und das Inklusionsproblem für reguläre Ausdrücke co-NP-hart. Dies gilt sogar für **sternfreie** reguläre Ausdrücke (kurz SFRAs), also für reguläre Ausdrücke, die keinen Stern enthalten.

# Entscheidungsprobleme für reguläre Sprachen

Die Tabelle gibt die Komplexitäten der wichtigsten Entscheidungsprobleme für durch DFAs, NFAs oder (sternfreie) reguläre Ausdrücke gegebene reguläre Sprachen an.

|      | Wort-<br>problem<br>$x \in L?$ | Leerheits-<br>problem<br>$L = \emptyset?$ | Schnitt-<br>problem<br>$L_1 \cap L_2 \neq \emptyset?$ | Äquivalenz-<br>problem<br>$L_1 = L_2?$ | Inklusions-<br>problem<br>$L_1 \subseteq L_2$ |
|------|--------------------------------|---|---|--|---|
| DFA  | P                              | P   | P   | P                                      | P   |
| SFRA | P                              | P   | P   | co-NP-vollständig                      |   |
| RA   | P                              | P   | P   | PSPACE-vollständig                     |   |
| NFA  | P                              | P   | P   | PSPACE-vollständig                     |   |

Als nächstes zeigen wir, dass die Probleme  $\text{ÄP}_{\text{SFRA}}$  und  $\text{IP}_{\text{SFRA}}$  co-NP-vollständig sind.

## Das Äquivalenzproblem für sternfreie reguläre Ausdrücke

### Lemma

Folgende Sprache ist NP-vollständig:

$$SF = \{\alpha\#0^n \mid \alpha \text{ ist ein SFRA über } \{0, 1\} \text{ mit } L(\alpha) \neq \{0, 1\}^n\}.$$

### Beweis

- Wir zeigen zuerst  $SF \in NP$ .
- Anschließend reduzieren wir 3-SAT auf SF.

## Das Äquivalenzproblem für sternfreie reguläre Ausdrücke

- Sei  $\alpha$  ein sternfreier regulärer Ausdruck der Länge  $m$ .
- Es ist leicht zu zeigen (durch Induktion über den Aufbau von  $\alpha$ ), dass  $L(\alpha)$  nur Wörter der Länge  $\leq m$  enthält.
- D.h. es gilt  $L(\alpha) \subseteq \{0, 1\}^{\leq m}$ , wobei  $\Sigma^{\leq m} = \bigcup_{i=0}^m \Sigma^i$  ist.
- Daher akzeptiert folgender NP-Algorithmus die Sprache  $SF = \{\alpha \# 0^n \mid \alpha \text{ ist SFRA über } \{0, 1\} \text{ mit } L(\alpha) \neq \{0, 1\}^n\}$ .

### NP-Algorithmus für SF

```
1  Input: SFRA  $\alpha$  über  $\{0, 1\}$  und eine unär kodierte Zahl  $n$ 
2  guess  $x \in \{0, 1\}^n$ 
3  if  $x \notin L(\alpha)$  then accept
4   $m := |\alpha|$ 
5  guess  $y \in \{0, 1\}^{\leq m}$ 
6  if  $y \in L(\alpha) - \{0, 1\}^n$  then accept else reject
```

# Das Äquivalenzproblem für sternfreie reguläre Ausdrücke

## Reduktion von 3-SAT auf SF

- Sei  $F = \{C_1, \dots, C_m\}$  eine 3-KNF Formel.
- Betrachte den SFRA  $\alpha_F = (\alpha_1 | \dots | \alpha_m)$  mit  $\alpha_j = \beta_{j1} \cdots \beta_{jn}$  und

$$\beta_{ji} = \begin{cases} 0, & x_i \in C_j, \\ 1, & \bar{x}_i \in C_j, \\ (0|1), & \text{sonst.} \end{cases}$$

- Dann ist  $L(\alpha_j) = \{a \in \{0, 1\}^n \mid C_j(a) = 0\}$  und daher folgt

$$\begin{aligned} F \in 3\text{-SAT} &\Leftrightarrow \exists a \in \{0, 1\}^n : F(a) = 1 \\ &\Leftrightarrow \exists a \in \{0, 1\}^n \forall j = 1, \dots, m : C_j(a) = 1 \\ &\Leftrightarrow \exists a \in \{0, 1\}^n \forall j = 1, \dots, m : a \notin L(\alpha_j) \\ &\Leftrightarrow \exists a \in \{0, 1\}^n : a \notin L(\alpha_F) \\ &\Leftrightarrow L(\alpha_F) \neq \{0, 1\}^n. \end{aligned}$$

## Das Äquivalenzproblem für sternfreie reguläre Ausdrücke

### Korollar

Das Äquivalenzproblem für sternfreie reguläre Ausdrücke,

$$\text{ÄP}_{\text{SFRA}} = \{\alpha\#\beta \mid \alpha, \beta \text{ sind SFRA's mit } L(\alpha) = L(\beta)\},$$

ist co-NP-vollständig.

### Beweis

- Wir zeigen, dass das Inäquivalenzproblem für SFRA's NP-vollständig ist.
- Die Zugehörigkeit zu NP liefert folgender Algorithmus:

```
1  Input: SFRA's  $\alpha$  und  $\beta$ 
2     $m := \max\{|\alpha|, |\beta|\}$ 
3    guess  $x \in \{0, 1\}^{\leq m}$ 
4    if  $x \in L(\alpha) \Delta L(\beta)$  then accept else reject
```

- Zudem lässt sich SF leicht auf dieses Problem reduzieren:

$$\alpha\#0^n \mapsto \alpha\# \underbrace{(0|1) \cdots (0|1)}_{n\text{-mal}}.$$

## Das Äquivalenz- und das Inklusionsproblem für NFAs

- Das Komplement von SF lässt sich auch auf das Inklusionsproblem für sternfreie reguläre Ausdrücke reduzieren (siehe Übungen).
- Folglich ist  $IP_{SFRA}$  ebenfalls co-NP-vollständig.
- Das Äquivalenz- und Inklusionsproblem für reguläre Ausdrücke sind demnach co-NP-hart.
- Diese Probleme sind sogar PSPACE-vollständig (auch für NFAs).

|      | Wort-<br>problem<br>$x \in L?$ | Leerheits-<br>problem<br>$L = \emptyset?$ | Schnitt-<br>problem<br>$L_1 \cap L_2 \neq \emptyset?$ | Äquivalenz-<br>problem<br>$L_1 = L_2?$ | Inklusions-<br>problem<br>$L_1 \subseteq L_2$ |
|------|--------------------------------|---|---|--|---|
| DFA  | P                              | P   | P   | P                                      | P   |
| SFRA | P                              | P   | P   | co-NP-vollständig                      |   |
| RA   | P                              | P   | P   | PSPACE-vollständig                     |   |
| NFA  | P                              | P   | P   | PSPACE-vollständig                     |   |

# Notation – ungerichtete Graphen

- Ein (**ungerichteter**) **Graph** ist ein Paar  $G = (V, E)$ , wobei
  - $V$  - eine endliche Menge von **Knoten/Ecken** und
  - $E$  - die Menge der **Kanten** ist.

Hierbei gilt

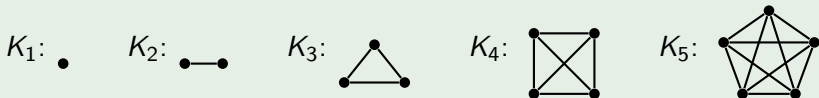
$$E \subseteq \binom{V}{2} := \{\{u, v\} \subseteq V \mid u \neq v\}.$$

- Die **Knotenzahl** von  $G$  ist  $n(G) = \|V\|$ .
- Die **Kantenzahl** von  $G$  ist  $m(G) = \|E\|$ .
- Die **Nachbarschaft** von  $v \in V$  ist  $N_G(v) = \{u \in V \mid \{u, v\} \in E\}$  und die Nachbarschaft von  $U \subseteq V$  ist  $N_G(U) = \bigcup_{u \in U} N_G(u)$ .
- Der **Grad** von  $v \in V$  ist  $\deg_G(v) = \|N_G(v)\|$ .
- Der **Minimalgrad** von  $G$  ist  $\delta(G) := \min_{v \in V} \deg_G(v)$  und
- der **Maximalgrad** von  $G$  ist  $\Delta(G) := \max_{v \in V} \deg_G(v)$ .

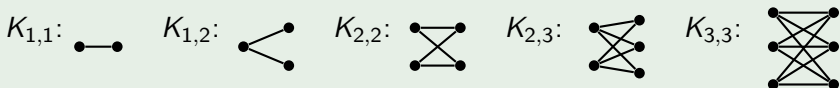
Falls  $G$  aus dem Kontext ersichtlich ist, schreiben wir auch einfach  $n$ ,  $m$ ,  $N(v)$ ,  $\deg(v)$ ,  $\delta$  usw.

## Beispiel

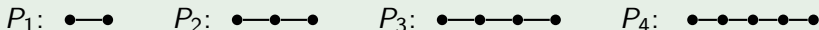
- Der **vollständige Graph**  $(V, E)$  mit  $\|V\| = n$  und  $E = \binom{V}{2}$  wird mit  $K_n$  und der **leere Graph**  $(V, \emptyset)$  wird mit  $E_n$  bezeichnet.



- Der **vollständige bipartite Graph**  $(A, B, E)$  auf  $a + b$  Knoten, d.h.  $A \cap B = \emptyset$ ,  $\|A\| = a$ ,  $\|B\| = b$  und  $E = \{\{u, v\} \mid u \in A, v \in B\}$  wird mit  $K_{a,b}$  bezeichnet.



- Der **Pfad der Länge  $n$**  wird mit  $P_n$  bezeichnet.



- Der **Kreis der Länge  $n$**  wird mit  $C_n$  bezeichnet.



## Notation – ungerichtete Graphen (Fortsetzung)

- Ein Graph  $H = (V', E')$  heißt **Sub-/Teil-/Untergraph** von  $G = (V, E)$ , falls  $V' \subseteq V$  und  $E' \subseteq E$  ist.

Der Subgraph  $H$  heißt (**durch  $V'$** ) **induziert**, falls  $E' = E \cap \binom{V'}{2}$  ist. Hierfür schreiben wir auch  $H = G[V']$ .

- Ein **Weg** ist eine Folge von Knoten  $v_0, \dots, v_j$  mit  $\{v_i, v_{i+1}\} \in E$  für  $i = 0, \dots, j - 1$ .

Ein Weg heißt **einfach** oder **Pfad**, falls alle durchlaufenen Knoten verschieden sind.

Die **Länge** des Weges ist die Anzahl der Kanten, also  $j$ .

Ein Weg  $v_0, \dots, v_j$  heißt auch  **$v_0$ - $v_j$ -Weg**.

- Ein **Zyklus** ist ein  $u$ - $v$ -Weg der Länge  $j \geq 2$  mit  $u = v$ .
- Ein **Kreis** ist ein Zyklus  $v_0, v_1, \dots, v_{j-1}, v_0$  der Länge  $j \geq 3$ , für den  $v_0, v_1, \dots, v_{j-1}$  paarweise verschieden sind.

# Cliquen, Stabilität und Kantenüberdeckungen

- Eine Knotenmenge  $U \subseteq V$  heißt **Clique**, wenn jede Kante mit beiden Endpunkten in  $U$  in  $E$  ist, d.h. es gilt  $\binom{U}{2} \subseteq E$ .

Die **Cliquenzahl** ist

$$\omega(G) := \max\{\|U\| \mid U \text{ ist Clique in } G\}.$$

- Eine Knotenmenge  $U \subseteq V$  heißt **stabil**, wenn keine Kante in  $G$  beide Endpunkte in  $U$  hat, d.h. es gilt  $E \cap \binom{U}{2} = \emptyset$ .

Die **Stabilitätszahl** ist

$$\alpha(G) := \max\{\|U\| \mid U \text{ ist stabile Menge in } G\}.$$

- Eine Knotenmenge  $U \subseteq V$  heißt **Kantenüberdeckung** (engl. *vertex cover*), wenn jede Kante  $e \in E$  mindestens einen Endpunkt in  $U$  hat, d.h. es gilt  $e \cap U \neq \emptyset$  für alle Kanten  $e \in E$ .

Die **Überdeckungsanzahl** ist

$$\beta(G) = \min\{\|U\| \mid U \text{ ist eine Kantenüberdeckung in } G\}.$$

# Fundamentale Graphprobleme

Für einen gegebenen Graphen  $G$  und eine gegebene Zahl  $k \geq 1$  betrachten wir die folgenden Fragestellungen:

**CLIQUE:**

Gefragt: Hat  $G$  eine Clique der Größe  $k$ ?

**INDEPENDENT SET (IS):**

Gefragt: Hat  $G$  eine stabile Menge der Größe  $k$ ?

**VERTEX COVER (VC):**

Gefragt: Hat  $G$  eine Kantenüberdeckung der Größe  $k$ ?

**Satz**

CLIQUE, IS und VC sind NP-vollständig.

# IS ist NP-vollständig

## Reduktion von 3-SAT auf IS

- Sei  $F = \{C_1, \dots, C_m\}$  mit  $C_j = \{l_{j,1}, \dots, l_{j,k_j}\}$  für  $j = 1, \dots, m$  eine 3-KNF-Formel über den Variablen  $x_1, \dots, x_n$ .

- Betrachte den Graphen  $G = (V, E)$  mit

$$V = \{v_{ji} \mid 1 \leq j \leq m, 1 \leq i \leq k_j\} \text{ und}$$

$$E = \{\{v_{ji}, v_{j'i'}\} \in \binom{V}{2} \mid j = j' \text{ oder } l_{ji} = \bar{l}_{j'i'} \text{ oder } l_{j'i'} = \bar{l}_{ji}\}.$$

- Nun gilt

$F \in 3\text{-SAT} \Leftrightarrow$  es gibt eine Belegung, die in jeder Klausel  $C_j$  (mindestens) ein Literal  $l_{j,i_j}$  wahr macht

$\Leftrightarrow$  es gibt  $m$  Literale  $l_{1,i_1}, \dots, l_{m,i_m}$ , die paarweise nicht komplementär sind (d.h.  $l_{j,i_j} \neq \bar{l}_{j',i_{j'}}$  für  $j \neq j'$ )

$\Leftrightarrow$  es gibt  $m$  Knoten  $v_{1,i_1}, \dots, v_{m,i_m}$ , die nicht durch Kanten verbunden sind

$\Leftrightarrow G$  besitzt eine stabile Menge von  $m$  Knoten. □

# CLIQUE ist NP-vollständig

## Korollar

CLIQUE ist NP-vollständig.

## Beweis

- Es ist leicht zu sehen, dass jede Clique in einem Graphen  $G = (V, E)$  eine stabile Menge in dem zu  $G$  komplementären Graphen  $\bar{G} = (V, \bar{E})$  mit  $\bar{E} = \binom{V}{2} \setminus E$  ist und umgekehrt.
- Daher lässt sich IS mittels

$$f : (G, k) \mapsto (\bar{G}, k)$$

auf CLIQUE reduzieren. □

# VC ist NP-vollständig

## Korollar

VC ist NP-vollständig.

## Beweis

- Offensichtlich ist eine Menge  $I$  genau dann stabil, wenn ihr Komplement  $V \setminus I$  eine Kantenüberdeckung ist.
- Daher lässt sich IS mittels

$$f : (G, k) \mapsto (G, n(G) - k)$$

auf VC reduzieren.



# Färbbarkeit von Graphen

## Definition

- Eine Abbildung  $f: V \rightarrow \mathbb{N}$  heißt **Färbung** von  $G$ , wenn  $f(u) \neq f(v)$  für alle  $\{u, v\} \in E$  gilt.
- $G$  heißt  **$k$ -färbbar**, falls eine Färbung  $f: V \rightarrow \{1, \dots, k\}$  existiert.
- Die **chromatische Zahl** ist

$$\chi(G) = \min\{k \in \mathbb{N} \mid G \text{ ist } k\text{-färbbar}\}.$$

## $k$ -Färbbarkeit ( $k$ -COLORING):

Gegeben: Ein Graph  $G$ .

Gefragt: Ist  $G$   $k$ -färbbar?

## Satz

- 1-COLORING, 2-COLORING  $\in P$  (siehe Übungen).
- 3-COLORING ist NP-vollständig.

# Färbbarkeit von Graphen

## Reduktion von NAESAT auf 3-COLORING

- Sei eine 3-KNF-Formel  $F = \{C_1, \dots, C_m\}$  über den Variablen  $x_1, \dots, x_n$  mit Klauseln

$$C_j = \{l_{j,1}, \dots, l_{j,k_j}\}, \quad k_j \leq 3$$

gegeben.

- Wir können annehmen, dass  $F$  keine Einerklauseln enthält.
- Wir konstruieren einen Graphen  $G_F = (V, E)$ , der genau dann 3-färbbar ist, wenn  $F \in \text{NAESAT}$  ist.
- Wir setzen

$$V = \{s, x_1, \dots, x_n, \bar{x}_1, \dots, \bar{x}_n\} \cup \{v_{jk} \mid 1 \leq j \leq m, 1 \leq k \leq k_j\}$$

und

$$E = \left\{ \{s, x_i\}, \{s, \bar{x}_i\}, \{x_i, \bar{x}_i\} \mid 1 \leq i \leq n \right\} \cup \left\{ \{s, v_{jk}\} \mid k_j = 2 \right\} \cup \\ \left\{ \{v_{jk}, v_{jl}\} \mid k \neq l \right\} \cup \left\{ \{v_{jk}, x_i\} \mid l_{jk} = \bar{x}_i \right\} \cup \left\{ \{v_{jk}, \bar{x}_i\} \mid l_{jk} = x_i \right\}.$$

# Färbbarkeit von Graphen

## Reduktion von NAESAT auf 3-COLORING

- Wir setzen

$$V = \{s\} \cup \{x_1, \dots, x_n, \bar{x}_1, \dots, \bar{x}_n\} \cup \{v_{jk} \mid 1 \leq j \leq m, 1 \leq k \leq k_j\},$$

und

$$E = \left\{ \{s, x_i\}, \{s, \bar{x}_i\}, \{x_i, \bar{x}_i\} \mid 1 \leq i \leq n \right\} \cup \left\{ \{s, v_{jk}\} \mid k_j = 2 \right\} \cup \\ \left\{ \{v_{jk}, v_{jl}\} \mid k \neq l \right\} \cup \left\{ \{v_{jk}, x_i\} \mid l_{jk} = \bar{x}_i \right\} \cup \left\{ \{v_{jk}, \bar{x}_i\} \mid l_{jk} = x_i \right\}.$$

- Sei  $a = a_1 \cdots a_n$  eine Belegung für  $F$ , unter der in jeder Klausel  $C_j = \{l_{j1}, \dots, l_{jk_j}\}$  ein Literal wahr und eines falsch wird.
- Wir können annehmen, dass  $l_{j1}(a) = 0$  und  $l_{j2}(a) = 1$  ist.
- Dann lässt sich  $G_F$  wie folgt mit den 3 Farben 0, 1, 2 färben:

|              |     |       |             |          |          |                             |
|--------------|-----|-------|-------------|----------|----------|-----------------------------|
| Knoten $v$   | $s$ | $x_i$ | $\bar{x}_i$ | $v_{j1}$ | $v_{j2}$ | $v_{j3}$ (falls $k_j = 3$ ) |
| Farbe $c(v)$ | 2   | $a_i$ | $\bar{a}_i$ | 0        | 1        | 2                           |

# Färbbarkeit von Graphen

## Reduktion von NAESAT auf 3-COLORING

- Sei nun umgekehrt  $c : V \rightarrow \{0, 1, 2\}$  eine 3-Färbung von  $G_F$ .
- Dann können wir annehmen, dass  $c(v) = 2$  ist.
- Also gilt für  $i = 1, \dots, n$ , dass  $\{c(x_i), c(\bar{x}_i)\} = \{0, 1\}$  ist.
- Zudem müssen die Knoten  $v_{j_1}, \dots, v_{j_{k_j}}$  im Fall  $k_j = 2$  mit 0 und 1 und im Fall  $k_j = 3$  mit allen drei Farben 0, 1 und 2 gefärbt sein.
- Wir können annehmen, dass  $c(v_{j_1}) = 0$  und  $c(v_{j_2}) = 1$  ist.
- Wegen  $\{v_{jk}, \bar{l}_{jk}\} \in E$  muss  $c(v_{jk}) \neq c(\bar{l}_{jk})$  für  $k = 1, \dots, k_j$  und daher  $c(v_{jk}) = c(l_{jk})$  für  $k = 1, 2$  gelten.
- Also macht die Belegung  $a = c(x_1) \cdots c(x_n)$  die Literale  $l_{j_1}$  falsch und  $l_{j_2}$  wahr.
- Insgesamt gilt also

$$F \in \text{NAESAT} \Leftrightarrow G_F \in \text{3-COLORING.}$$



# Matchings und der Heiratsatz

## Das Heiratsproblem

- Sei  $V$  eine Gruppe von heiratswilligen Personen.
- Wir verbinden  $u, w \in V$  durch eine Kante, falls aus Sicht von  $u$  und  $w$  die Möglichkeit einer Heirat zwischen  $u$  und  $w$  besteht.
- Sind Viehlen ausgeschlossen, so lässt sich jedes mögliche Heiratsarrangement durch ein Matching beschreiben.

## Definition

Sei  $G = (V, E)$  ein Graph.

- Zwei Kanten  $e, e' \in E$  heißen **unabhängig**, falls  $e \cap e' = \emptyset$  ist.
- Eine Kantenmenge  $M \subseteq E$  heißt **Matching** in  $G$ , falls die Kanten in  $M$  paarweise unabhängig sind.

# Matchings und der Heiratssatz

## Definition

Sei  $G = (V, E)$  ein Graph.

- Zwei Kanten  $e, e' \in E$  heißen **unabhängig**, falls  $e \cap e' = \emptyset$  ist.
- Eine Kantenmenge  $M \subseteq E$  heißt **Matching** in  $G$ , falls die Kanten in  $M$  paarweise unabhängig sind.
- Die **Matchingzahl** von  $G$  ist

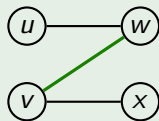
$$\mu(G) = \max\{\|M\| \mid M \text{ ist ein Matching in } G\}.$$

- Ein Matching  $M$  der Größe  $\|M\| = \mu(G)$  heißt **optimal**.
- $M$  heißt **gesättigt**, falls  $M \cup \{e\}$  für keine Kante  $e \in E \setminus M$  ein Matching ist.
- Analog lassen sich Matchings  $M \subseteq E$  in einem  **$d$ -uniformen Hypergraphen**  $G = (V, E)$  mit  $E \subseteq \binom{V}{d}$  definieren.
- Ein Matching  $M$  heißt **perfekt**, falls  $\|M\| \geq \lfloor \|V\|/d \rfloor$  ist.

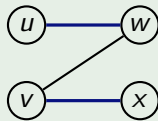
# Matchings und der Heiratssatz

## Beispiel

Ein gesättigtes Matching muss nicht optimal sein:



$M$



$M'$

- Das Matching  $M = \{\{v, w\}\}$  ist gesättigt, da es sich nicht zu einem größeren Matching erweitern lässt.
- $M$  ist jedoch nicht optimal, da  $M' = \{\{u, w\}, \{v, x\}\}$  größer ist.
- Die Greedy-Methode, ausgehend von  $M = \emptyset$  solange Kanten zu  $M$  hinzuzufügen, bis sich  $M$  nicht mehr zu einem größeren Matching erweitern lässt, funktioniert also i.a. nicht.

## Matchings und der Heiratssatz

Falls beim Heiratsproblem Homoeen ausgeschlossen sind, ist der resultierende Graph  $G = (V, E)$  bipartit.

### Definition

- Sei  $G = (V, E)$  ein Graph und seien  $U, W \subseteq V$ . Dann bezeichne

$$E(U, W) = \left\{ \{u, w\} \in E \mid u \in U, w \in W \right\}$$

die Menge aller Kanten zwischen  $U$  und  $W$ .

- $G$  heißt **bipartit**, falls sich  $V$  in zwei Mengen  $U$  und  $W$  mit  $E(U, W) = E$  zerlegen lässt.
- In diesem Fall notieren wir  $G$  auch in der Form  $G = (U, W, E)$ .

# Matchingprobleme

## $d$ -dimensionales Matching ( $d$ -MATCH)

Gegeben: Ein  $d$ -uniformer Hypergraph  $G$  und eine Zahl  $k \geq 1$ .

Gefragt: Hat  $G$  ein Matching  $M$  der Größe  $\|M\| \geq k$ ?

## $d$ -dimensionales perfektes Matching ( $d$ -PERFECTMATCH)

Gegeben: Ein  $d$ -uniformer Hypergraph  $G$ .

Gefragt: Hat  $G$  ein perfektes Matching?

Im Fall  $d = 2$  schreiben wir auch einfach MATCH bzw. PERFECTMATCH.

## Bipartites Matching (BIMATCH)

Gegeben: Ein bipartiter Graph  $G$  und eine Zahl  $k \geq 1$ .

Gefragt: Hat  $G$  ein Matching  $M$  der Größe  $\|M\| \geq k$ ?

## Satz

- $d$ -MATCH,  $d$ -PERFECTMATCH und BIMATCH sind für  $d \leq 2$  in P entscheidbar.
- Für  $d \geq 3$  sind  $d$ -MATCH und  $d$ -PERFECTMATCH NP-vollständig.

## 3-dimensionales perfektes Matching ist NP-vollständig

### Satz

3-PERFECTMATCH  $\in$  NPC.

### Beweis

- 3-PERFECTMATCH  $\in$  NP ist klar. Wir reduzieren von 3-SAT.
- Sei  $F = \{C_1, \dots, C_m\}$  eine 3-KNF Formel über  $x_1, \dots, x_n$ .
- Betrachte den Hypergraphen  $G_F = (V, E)$  mit der Knotenmenge

$$V = \{x_i^j, \bar{x}_i^j, a_i^j, b_i^j, c_j, c'_j, g_k, g'_k \mid i \in [n], j \in [m], k \in [m(n-1)]\},$$

wobei  $[l] = \{1, \dots, l\}$  ist, und der Hyperkantenmenge

$$\begin{aligned} E = & \{ \{x_i^j, a_i^j, b_i^j\}, \{\bar{x}_i^j, b_i^j, a_i^{j+1 \bmod m}\} \mid i \in [n], j \in [m] \} \\ & \cup \{ \{x_i^j, c_j, c'_j\} \mid x_i \in C_j \} \cup \{ \{\bar{x}_i^j, c_j, c'_j\} \mid \bar{x}_i \in C_j \} \\ & \cup \{ \{x_i^j, g_k, g'_k\}, \{\bar{x}_i^j, g_k, g'_k\} \mid i \in [n], j \in [m], k \in [m(n-1)] \}. \end{aligned}$$

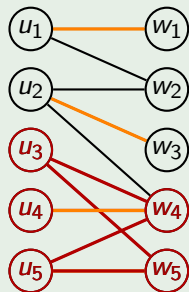
## Reduktion von 3-SAT auf 3-PERFECTMATCH

- Falls  $F$  erfüllbar ist, hat  $G_F$  ein (perfektes) Matching  $M$  der Größe  $2nm$ , wovon
  - $nm$  Hyperkanten alle  $2nm$   $a$ - und  $b$ -Knoten sowie  $nm$  der  $x$ -Knoten (und zwar alle Knoten  $x_i^j$ , falls  $x_i = 0$  und alle Knoten  $\bar{x}_i^j$ , falls  $x_i = 1$  ist),
  - $m$  Hyperkanten alle  $2m$   $c$ -Knoten sowie weitere  $m$   $x$ -Knoten und
  - $m(n-1)$  Hyperkanten alle  $2m(n-1)$   $g$ -Knoten sowie die restlichen  $m(n-1)$   $x$ -Knoten überdecken.
- Umgekehrt ist auch leicht zu sehen, dass sich aus jedem perfektem Matching  $M$  von  $G$  eine Belegung  $a$  mit  $F(a) = 1$  ableiten lässt:
  - Setze die Variable  $x_i$  genau dann gleich 1, wenn  $M$  Kanten der Form  $\{\bar{x}_i^j, b_i^j, a_i^{j+1 \bmod m}\}$  enthält.
  - Da diese Kanten alle falschen Literalknoten überdecken, müssen die Klauselknoten  $c_j, c'_j$  durch wahre Literalknoten überdeckt werden.
- Zudem ist leicht zu sehen, dass die Funktion  $F \mapsto G_F$  in FP ist. □

# Bipartites Matching und der Heiratssatz

## Beispiel

- Der bipartite Graph  $G$  enthält ein Matching  $M$  der Größe 4.
- Die Nachbarschaft von  $A = \{u_3, u_4, u_5\}$  ist  $N(A) = \{w_4, w_5\}$ .
- Daher kann jedes Matching höchstens 2 der 3 Knoten in  $A$  und somit höchstens 4 der 5 Knoten in  $U$  überdecken.
- Dies zeigt, dass  $M$  optimal ist.



$G = (U, W, E)$

# Bipartites Matching und der Heiratssatz

- Sei  $A \subseteq U$  beliebig und sei  $M$  ein beliebiges Matching.
- Da  $M$  höchstens  $\|N(A)\|$  Knoten in  $A$  überdecken kann, gilt
$$\|M\| \leq \|U - A\| + \|N(A)\| = \|U\| - (\|A\| - \|N(A)\|).$$
- Folglich ist  $\mu(G) \leq \|U\| - \max_{A \subseteq U} (\|A\| - \|N(A)\|)$ .

**Frage:** Ist diese Schranke in jedem bipartiten Graphen scharf?

Anders ausgedrückt: Lässt sich die Optimalität von  $M$  immer durch Angabe einer Menge  $A \subseteq U$  mit  $\|U\| - \|M\| = \|A\| - \|N(A)\|$  beweisen?

## Satz (Heiratssatz von Hall)

Für einen bipartiten Graphen  $G = (U, W, E)$  ist

$$\mu(G) = \|U\| - \max_{A \subseteq U} (\|A\| - \|N(A)\|).$$

Insbesondere hat  $G$  genau dann ein Matching der Größe  $\|M\| = \|U\|$ , wenn für alle Teilmengen  $A \subseteq U$  gilt:  $\|N(A)\| \geq \|A\|$ .

# Bipartites Matching und der Heiratssatz

Im Beweis des Heiratssatzes benutzen wir folgende Notation:

Für eine Knotenmenge  $A \subseteq V$  und ein Matching  $M$  bezeichne

$$A_M^+ = \{u \in A \mid \exists v \in V : \{u, v\} \in M\}$$

die Menge aller von  $M$  in  $A$  überdeckten Knoten und

$$A_M^- = A - A_M^+$$

bezeichne die Menge aller von  $M$  in  $A$  nicht überdeckten Knoten.

# Beweis des Heiratssatzes

- Wir konstruieren zu jedem Matching  $M$  der Größe

$$\|M\| < \|U\| - \max_{A \subseteq U} (\|A\| - \|N(A)\|)$$

ein Matching  $M'$  mit  $\|M'\| > \|M\|$ .

- Hierzu betrachten wir den gerichteten Graphen  $G_M$ , der aus  $G$  dadurch entsteht, dass wir alle **Matchingkanten** in  $M$  von  $W$  nach  $U$  und alle **übrigen Kanten** von  $U$  nach  $W$  orientieren.
- Angenommen, es ex. in  $G_M$  ein Pfad von  $U_M^-$  nach  $W_M^-$ :

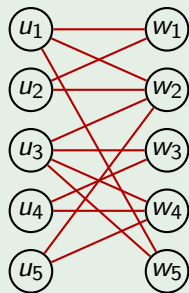
$$P : u_0 \rightarrow w_0 \rightarrow u_1 \rightarrow w_1 \rightarrow \cdots u_{k-1} \rightarrow w_{k-1} \rightarrow u_k \rightarrow w_k$$

- Dann hat  $P$  ungerade Länge  $2k + 1$ ,  $k \geq 0$ , und wir können  $M$  zu  $M'$  vergrößern, indem wir die  $k$  zu  $P$  gehörigen **Matchingkanten** aus  $M$  entfernen und dafür die  $k + 1$  **übrigen Kanten** von  $P$  zu  $M$  hinzufügen:

$$M' = \left( M \setminus \left\{ \{w_i, u_{i+1}\} \mid 0 \leq i < k \right\} \right) \cup \left\{ \{u_i, w_i\} \mid 0 \leq i \leq k \right\}.$$

# Beweis des Heiratssatzes

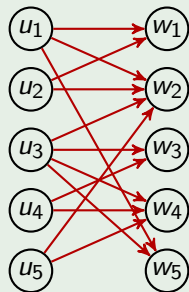
## Beispiel



$$G = (U, W, E)$$

# Beweis des Heiratssatzes

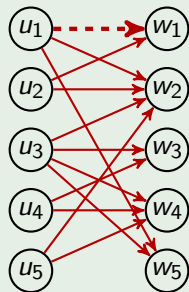
## Beispiel



$G_M$  für  $M = \emptyset$

# Beweis des Heiratssatzes

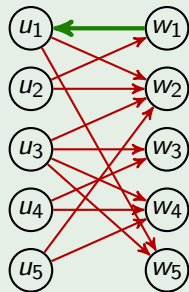
## Beispiel



$G_M$  für  $M = \emptyset$

# Beweis des Heiratssatzes

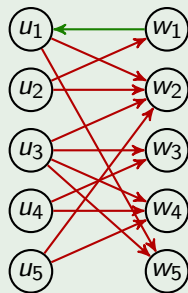
## Beispiel



$G_M$  für  $M = \{\{u_1, w_1\}\}$

# Beweis des Heiratssatzes

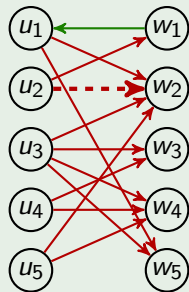
## Beispiel



$G_M$  für  $M = \{\{u_1, w_1\}\}$

# Beweis des Heiratssatzes

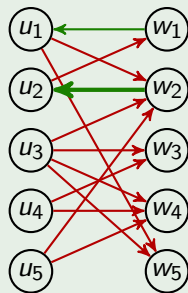
## Beispiel



$G_M$  für  $M = \{\{u_1, w_1\}\}$

# Beweis des Heiratssatzes

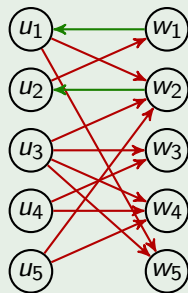
## Beispiel



$G_M$  für  $M = \{\{u_1, w_1\}, \{u_2, w_2\}\}$

# Beweis des Heiratssatzes

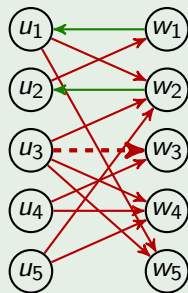
## Beispiel



$G_M$  für  $M = \{\{u_1, w_1\}, \{u_2, w_2\}\}$

# Beweis des Heiratssatzes

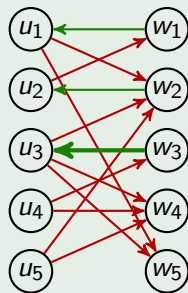
## Beispiel



$G_M$  für  $M = \{\{u_1, w_1\}, \{u_2, w_2\}\}$

# Beweis des Heiratssatzes

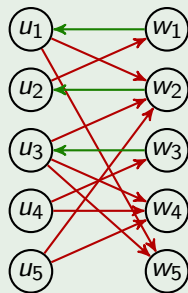
## Beispiel



$G_M$  für  $M = \{\{u_1, w_1\}, \{u_2, w_2\}, \{u_3, w_3\}\}$

# Beweis des Heiratssatzes

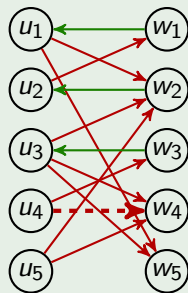
## Beispiel



$G_M$  für  $M = \{\{u_1, w_1\}, \{u_2, w_2\}, \{u_3, w_3\}\}$

# Beweis des Heiratssatzes

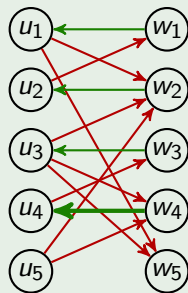
## Beispiel



$G_M$  für  $M = \{\{u_1, w_1\}, \{u_2, w_2\}, \{u_3, w_3\}\}$

# Beweis des Heiratssatzes

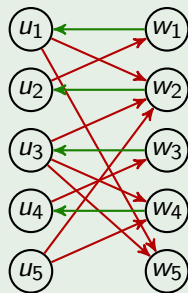
## Beispiel



$G_M$  für  $M = \{\{u_1, w_1\}, \{u_2, w_2\}, \{u_3, w_3\}, \{u_4, w_4\}\}$

# Beweis des Heiratssatzes

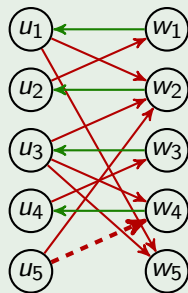
## Beispiel



$G_M$  für  $M = \{\{u_1, w_1\}, \{u_2, w_2\}, \{u_3, w_3\}, \{u_4, w_4\}\}$

# Beweis des Heiratssatzes

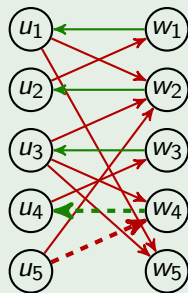
## Beispiel



$G_M$  für  $M = \{\{u_1, w_1\}, \{u_2, w_2\}, \{u_3, w_3\}, \{u_4, w_4\}\}$

# Beweis des Heiratssatzes

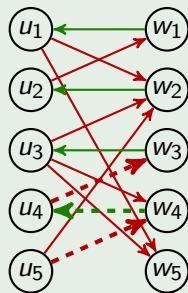
## Beispiel



$G_M$  für  $M = \{\{u_1, w_1\}, \{u_2, w_2\}, \{u_3, w_3\}, \{u_4, w_4\}\}$

# Beweis des Heiratssatzes

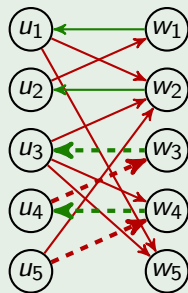
## Beispiel



$G_M$  für  $M = \{\{u_1, w_1\}, \{u_2, w_2\}, \{u_3, w_3\}, \{u_4, w_4\}\}$

# Beweis des Heiratssatzes

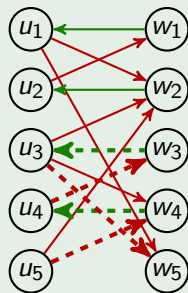
## Beispiel



$G_M$  für  $M = \{\{u_1, w_1\}, \{u_2, w_2\}, \{u_3, w_3\}, \{u_4, w_4\}\}$

# Beweis des Heiratsatzes

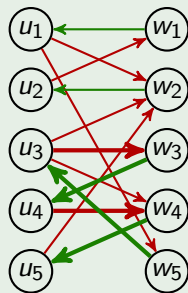
## Beispiel



$G_M$  für  $M = \{\{u_1, w_1\}, \{u_2, w_2\}, \{u_3, w_3\}, \{u_4, w_4\}\}$

# Beweis des Heiratssatzes

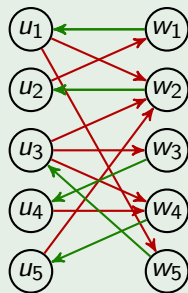
## Beispiel



$G_M$  für  $M = \{\{u_1, w_1\}, \{u_2, w_2\}, \{u_3, w_5\}, \{u_4, w_3\}, \{u_5, w_4\}\}$

# Beweis des Heiratssatzes

## Beispiel



$G_M$  für  $M = \{\{u_1, w_1\}, \{u_2, w_2\}, \{u_3, w_5\}, \{u_4, w_3\}, \{u_5, w_4\}\}$

## Beweis des Heiratssatzes

- Noch zu zeigen: Falls es in  $G_M$  keinen Pfad von  $U_M^-$  nach  $W_M^-$  gibt, dann lässt sich die Optimalität von  $M$  durch Angabe einer Menge  $A \subseteq U$  mit  $\|U\| - \|M\| = \|A\| - \|N(A)\|$  beweisen.
- Sei  $X$  die Menge aller in  $G_M$  von  $U_M^-$  aus erreichbaren Knoten.
- Da in  $G_M$  kein Pfad von  $U_M^-$  nach  $W_M^-$  ex., ist  $X \cap W \subseteq W_M^+$ .
- Wir zeigen, dass  $A = X \cap U$  die Größe  $\|U\| - \|M\| + \|N(A)\|$  hat.
- Da  $A$  alle Knoten in  $U_M^-$  enthält, ist

$$\|A\| = \|U_M^-\| + \|A_M^+\| = \|U\| - \|M\| + \|A_M^+\|.$$

- Es reicht also zu zeigen, dass  $\|A_M^+\| = \|N(A)\|$  ist.
- Es ist klar, dass jeder Knoten  $w \in N(A)$ , der mit einem Knoten  $u \in A$  über eine Kante  $e = \{u, w\} \in E \setminus M$  verbunden ist, zu  $X$  gehört.
- Aber auch im Fall  $e \in M$  muss  $w$  zu  $X$  gehören, da  $u$  in  $G_M$  nur über diese Matchingkante  $e$  erreichbar ist.
- Also ist  $N(A) \subseteq X \cap W \subseteq W_M^+$ , d.h. jeder Knoten  $w \in N(A)$  hat einen Matching-Partner  $u$  in  $A$ , woraus  $\|N(A)\| = \|A_M^+\|$  folgt. □

# Bipartites Matching und der Heiratsatz

## Korollar (zum Beweis des Heiratsatzes)

In bipartiten Graphen ist ein optimales Matching in Polynomialzeit berechenbar, d.h.  $\text{BIMATCH} \in \text{P}$ .

Zur Erinnerung: Für ein Matching  $M$  in  $G$  ist  $G_M$  der Digraph, der aus  $G$  dadurch entsteht, dass wir alle **Matchingkanten** in  $M$  von  $W$  nach  $U$  und die **übrigen Kanten** von  $U$  nach  $W$  orientieren.

## Algorithmus zur Bestimmung eines optimalen Matchings

```
1 Input: Ein bipartiter Graph  $G = (U, W, E)$ 
2    $M := \emptyset$ 
3   while  $\exists$  Pfad  $P$  von  $U_M^-$  nach  $W_M^-$  in  $G_M$  do
4     sei  $P : u_0 \rightarrow w_0 \rightarrow u_1 \rightarrow \dots \rightarrow w_{k-1} \rightarrow u_k \rightarrow w_k$ 
5      $M := \left( M \setminus \left\{ \{w_i, u_{i+1}\} \mid 0 \leq i < k \right\} \right) \cup \left\{ \{u_i, w_i\} \mid 0 \leq i \leq k \right\}$ 
6 Output:  $M$ 
```

**Frage:** Wie lässt sich  $P$  effizient berechnen?

# Notation – gerichtete Graphen

## Definition

- Ein **gerichteter Graph** oder **Digraph** ist ein Paar  $G = (V, E)$ , wobei
  - $V$  - eine endliche Menge von **Knoten/Ecken** und
  - $E$  - die Menge der **Kanten** ist.

Hierbei gilt

$$E \subseteq V \times V = \{(u, v) \mid u, v \in V\},$$

wobei  $E$  auch Schlingen  $(u, u)$  enthalten kann.

- Die **Nachfolgermenge** von  $v$  ist  $N^+(v) = \{u \in V \mid (v, u) \in E\}$ .
- Die **Vorgängermenge** von  $v$  ist  $N^-(v) = \{u \in V \mid (u, v) \in E\}$ .
- Die **Nachbarmenge** von  $v$  ist  $N(v) = N^+(v) \cup N^-(v)$ .
- Der **Ausgangsgrad** von  $v$  ist  $\deg^+(v) = \|N^+(v)\|$ .
- Der **Eingangsgrad** von  $v$  ist  $\deg^-(v) = \|N^-(v)\|$ .
- Der **Grad** von  $v$  ist  $\deg(v) = \deg^+(v) + \deg^-(v)$ .

# Gerichtete Zyklen und Kreise

## Definition

Sei  $G = (V, E)$  ein Digraph.

- Ein (**gerichteter**)  $v_0$ - $v_j$ -Weg in  $G$  ist eine Folge von Knoten  $(v_0, \dots, v_j)$  mit  $(v_i, v_{i+1}) \in E$  für  $i = 0, \dots, j - 1$ .
- Ein (**gerichteter**) Zyklus in  $G$  ist ein gerichteter  $u$ - $v$ -Weg der Länge  $j \geq 1$  mit  $u = v$ .
- Ein gerichteter Weg heißt **einfach** oder (**gerichteter**) Pfad, falls alle durchlaufenen Knoten paarweise verschieden sind.
- Ein (**gerichteter**) Kreis in  $G$  ist ein gerichteter Zyklus  $(v_0, \dots, v_{j-1}, v_0)$  der Länge  $j \geq 1$ , für den  $v_0, \dots, v_{j-1}$  paarweise verschieden sind.
- $G$  heißt **azyklisch**, wenn es in  $G$  keinen gerichteten Kreis gibt.

# Eulerlinien

## Definition

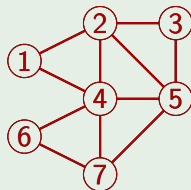
Sei  $G = (V, E)$  ein Graph (oder Digraph) und sei  $s = (v_0, v_1, \dots, v_l)$  ein (gerichteter) Weg in  $G$ , d.h.  $\{v_i, v_{i+1}\}$  bzw.  $(v_i, v_{i+1}) \in E$  für  $i = 0, \dots, l-1$ .

- $s = (v_0, v_1, \dots, v_l)$  heißt **Eulerlinie** (auch **Eulerzug** oder **Eulerweg**) in  $G$ , falls  $s$  jede Kante in  $E$  genau einmal durchläuft, d.h. es gilt  $l = \|E\|$  und

$$\left\{ \{v_i, v_{i+1}\} \text{ bzw. } (v_i, v_{i+1}) \mid i = 0, \dots, l-1 \right\} = E.$$

## Beispiel (Eulerlinie in einem ungerichteten Graphen)

$$s = (4, 1, 2, 3, 5, 7, 6, 4, 5, 2, 4, 7)$$



# Eulerkreise

## Definition

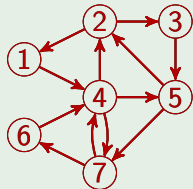
- $s = (v_0, v_1, \dots, v_l)$  in  $G$  heißt **Eulerlinie** (auch **Eulerzug** oder **Eulerweg**), falls  $s$  jede Kante in  $E$  genau einmal durchläuft, d.h. es gilt  $l = \|E\|$  und

$$\left\{ \{v_i, v_{i+1}\} \text{ bzw. } (v_i, v_{i+1}) \mid i = 0, \dots, l-1 \right\} = E.$$

- Ist  $s$  zudem ein Zyklus, d.h. es gilt  $v_l = v_0$ , so heißt  $s$  **Eulerkreis** (auch **Eulerzyklus** oder **Eulertour**).

## Beispiel (Eulerkreis in einem Digraphen)

$$s = (1, 4, 5, 2, 3, 5, 7, 4, 7, 6, 4, 2, 1)$$



# Hamiltonpfade

## Definition

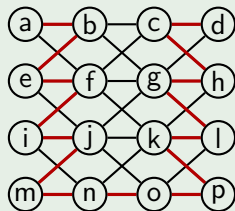
Sei  $G = (V, E)$  ein Graph (oder Digraph) und sei  $s = (v_0, v_1, \dots, v_l)$  ein (gerichteter) Pfad in  $G$ , d.h.  $\{v_i, v_{i+1}\}$  bzw.  $(v_i, v_{i+1}) \in E$  für  $i = 0, \dots, l - 1$  und die Knoten  $v_0, \dots, v_l$  sind paarweise verschieden.

- $s$  heißt **Hamiltonpfad** in  $G$ , falls  $s$  jeden Knoten in  $V$  genau einmal durchläuft, d.h. es gilt

$$V = \{v_0, \dots, v_l\} \text{ und } l = \|V\| - 1.$$

## Beispiel (Hamiltonpfad in einem ungerichteten Graphen)

$$s = (a, b, e, f, i, j, m, n, o, p, k, l, g, h, c, d)$$



# Hamiltonpfade

## Definition

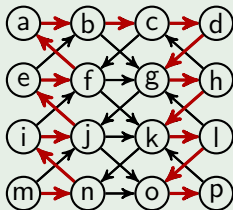
Sei  $G = (V, E)$  ein Graph (oder Digraph) und sei  $s = (v_0, v_1, \dots, v_l)$  ein (gerichteter) Pfad in  $G$ , d.h.  $\{v_i, v_{i+1}\}$  bzw.  $(v_i, v_{i+1}) \in E$  für  $i = 0, \dots, l - 1$  und die Knoten  $v_0, \dots, v_l$  sind paarweise verschieden.

- $s$  heißt **Hamiltonpfad** in  $G$ , falls  $s$  jeden Knoten in  $V$  genau einmal durchläuft, d.h. es gilt

$$V = \{v_0, \dots, v_l\} \text{ und } l = \|V\| - 1.$$

## Beispiel (Hamiltonpfad in einem Digraphen)

$$s = (m, n, i, j, e, f, a, b, c, d, g, h, k, l, o, p)$$



# Hamiltonkreise

## Definition

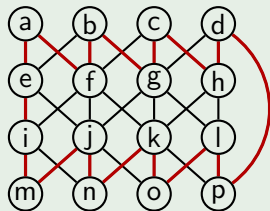
- $s = (v_0, v_1, \dots, v_l)$  in  $G$  heißt **Hamiltonpfad**, falls  $s$  jeden Knoten in  $V$  genau einmal durchläuft, d.h. es gilt

$$V = \{v_0, \dots, v_l\} \text{ und } l = \|V\| - 1.$$

- Ist zudem  $\{v_0, v_l\} \in E$ , d.h.  $s' = (v_0, v_1, \dots, v_l, v_0)$  ist ein (**gerichteter**) Kreis, so heißt  $s'$  **Hamiltonkreis**.

## Beispiel (Hamiltonkreis in einem ungerichteten Graphen)

$$s = (a, f, b, g, c, h, d, p, l, o, k, n, j, m, i, e, a)$$



# Euler- und Hamiltonkreise

## Definition

Wir betrachten für einen gegebenen Graphen (bzw. Digraphen)  $G$  und zwei Knoten  $s$  und  $t$  folgende Entscheidungsprobleme:

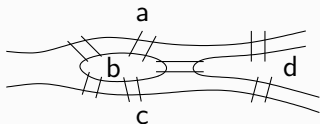
- **Das Eulerlinienproblem (EULERPATH bzw. DIEULERPATH):**  
Hat  $G$  eine Eulerlinie von  $s$  nach  $t$ ?
- **Das Hamiltonpfadproblem (HAMPATH bzw. DIHAMPATH):**  
Hat  $G$  einen Hamiltonpfad von  $s$  nach  $t$ ?

Zudem betrachten wir für einen gegebenen Graphen (bzw. Digraphen)  $G$  folgende Probleme:

- **Das Eulerkreisproblem (EULERCYCLE bzw. DIEULERCYCLE):**  
Hat  $G$  einen Eulerkreis?
- **Das Hamiltonkreisproblem (HAMCYCLE bzw. DIHAMCYCLE):**  
Hat  $G$  einen Hamiltonkreis?

# Das Königsberger Brückenproblem

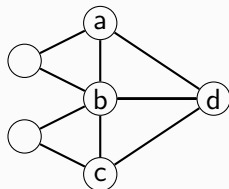
## Die 7 Königsberger Brücken



## Frage

Gibt es einen Spaziergang über alle 7 Brücken, bei dem keine Brücke mehrmals überquert wird und der zum Ausgangspunkt zurückführt?

Gelöst von Euler (1707 – 1783) durch Betrachtung des folgenden Graphen, der offenbar genau dann einen Eulerkreis hat, wenn die Antwort auf obige Frage „ja“ ist.



## Satz (Euler, 1736)

Ein zusammenhängender Graph  $G = (V, E)$  besitzt genau dann einen Eulerkreis, wenn all seine Knoten geraden Grad haben.

# Eulerkreise und -linien

## Satz (Euler, 1736)

Ein zusammenhängender Graph  $G = (V, E)$  besitzt genau dann einen Eulerkreis, wenn all seine Knoten geraden Grad haben.

## Beweis

- Falls  $G$  einen Eulerkreis  $s$  besitzt, existiert zu jeder Kante, auf der  $s$  zu einem Knoten gelangt, eine weitere Kante, auf der  $s$  den Knoten wieder verlässt.
- Daher muss jeder Knoten geraden Grad haben.
- Ist umgekehrt  $G$  zusammenhängend und hat jeder Knoten geraden Grad, so können wir wie folgt einen Eulerkreis  $s$  konstruieren.

## Eulerkreise und -linien

- Ist umgekehrt  $G$  zusammenhängend und hat jeder Knoten geraden Grad, so können wir wie folgt einen Eulerkreis  $s$  konstruieren.

### Algorithmus zur Berechnung eines Eulerkreises

- 1 **Input:** Graph  $G = (V, E)$
- 2 Wähle  $u \in V$  beliebig und initialisiere  $s$  zu  $s = (u)$
- 3 Wähle einen beliebigen Knoten  $u$  auf dem Weg  $s$ , der mit einer unmarkierten Kante verbunden ist.
- 4 Folge ausgehend von  $u$  den unmarkierten Kanten auf einem beliebigen Weg  $z$  solange wie möglich und markiere dabei jede durchlaufene Kante.  
(Da von jedem erreichten Knoten  $v \neq u$  ungerade viele markierte Kanten ausgehen, muss der Weg  $z$  zum Ausgangspunkt  $u$  zurückführen.)
- 5 Füge den Zyklus  $z$  an der Stelle  $u$  in  $s$  ein.
- 6 Falls noch nicht alle Kanten markiert sind, gehe zu 3.
- 7 **Output:**  $s$



# Eulerkreise und -linien

## Satz (Euler, 1736)

- i) Ein zusammenhängender Graph  $G = (V, E)$  besitzt genau dann eine Eulerlinie von  $s$  nach  $t$ , wenn  $s$  und  $t$  ungeraden Grad und alle übrigen Knoten geraden Grad haben.
- ii) Ein stark zusammenhängender Digraph besitzt genau dann einen Eulerkreis, wenn für jeden Knoten  $u$  der Eingangs- und der Ausgangsgrad übereinstimmen.

## Beweis

- i) Da  $G$  genau dann eine Eulerlinie von  $s$  nach  $t$  hat, wenn der Graph  $G' = (V', E')$  mit  $V' = V \cup \{u_{neu}\}$  und  $E' = E \cup \{\{t, u_{neu}\}, \{u_{neu}, s\}\}$  einen Eulerkreis hat, folgt dies aus dem vorigen Satz.
- ii) Dies folgt vollkommen analog zum ungerichteten Fall.

## Korollar

EULERCYCLE, EULERPATH, DIEULERCYCLE, DIEULERPATH  $\in P$ .

# Hamiltonkreise

## Satz

HAMPATH, HAMCYCLE, DIHAMPATH und DIHAMCYCLE sind NP-vollständig.

## Bemerkung

Bevor wir den Satz beweisen, betrachten wir ein weiteres Problem, das mit dem Hamiltonkreisproblem eng verwandt ist und große praktische Bedeutung hat.

# Das Problem des Handlungsreisenden

- Gegeben sind die Entfernungen  $d_{ij}$  zwischen  $n$  Städten  $i, j \in \{1, \dots, n\}$ .
- Gesucht ist eine Rundreise  $(i_1, \dots, i_n)$  mit minimaler Länge  $d_{i_1, i_2} + \dots + d_{i_{n-1}, i_n} + d_{i_n, i_1}$ , die jede Stadt genau einmal besucht.
- Die Entscheidungsvariante dieses Optimierungsproblems ist wie folgt definiert.

## Problem des Handlungsreisenden (TSP; *traveling salesman problem*)

**Gegeben:** Eine  $n \times n$  Matrix  $D = (d_{i,j}) \in \mathbb{N}^{n \times n}$  und eine Zahl  $k$ .

**Gefragt:** Existiert eine Permutation  $\pi : \{1, \dots, n\} \rightarrow \{1, \dots, n\}$ , so dass die Rundreise  $(\pi(1), \dots, \pi(n))$  die Länge  $\leq k$  hat?

## Satz

$$3\text{-SAT} \leq^P \text{DIHAMPATH} \leq^P \frac{\text{HAMPATH,}}{\text{DIHAMCYCLE}} \leq^P \text{HAMCYCLE} \leq^P \text{TSP.}$$

# Hamiltonkreise und -pfade

## Satz

$$3\text{-SAT} \leq^p \text{DIHAMPATH} \leq^p \frac{\text{HAMPATH,}}{\text{DIHAMCYCLE}} \leq^p \text{HAMCYCLE} \leq^p \text{TSP}.$$

## Reduktion von HAMCYCLE auf TSP

- Sei  $G = (V, E)$  ein Graph, wobei wir  $V = \{1, \dots, n\}$  annehmen.
- Dann lässt sich  $G$  in Polynomialzeit auf die TSP Instanz  $(D, n)$  mit  $D = (d_{i,j})$  und

$$d_{i,j} = \begin{cases} 1, & \text{falls } \{i, j\} \in E, \\ 2, & \text{sonst,} \end{cases}$$

transformieren.

- Diese Reduktion ist korrekt, da  $G$  genau dann einen Hamiltonkreis hat, wenn es in dem Distanzgraphen  $D$  eine Rundreise  $(\pi(1), \dots, \pi(n))$  der Länge  $L(\pi) \leq n$  gibt. □